

Starkniederschlagshöhen und -spenden gemäß KOSTRA-DWD-2010R

Auswertungszeitraum von 1951 - 2010, Januar - Dezember

Rasterfeld: 52077

Zeile: 52

Spalte: 77

Seite: 1/2

| Dauerstufe D | Wiederkehrzeit T | | | | | | | | | | | | | | | | | | |
|--------------|------------------|------|------------|------|------------|------|------------|------|------------|------|------------|-------|------------|-------|------------|-------|------------|-------|------------|
| | 1 a | | 2 a | | 3 a | | 5 a | | 10 a | | 20 a | | 30 a | | 50 a | | 100 a | | |
| min | Std | mm | l / (s ha) | mm | l / (s ha) | mm | l / (s ha) | mm | l / (s ha) | mm | l / (s ha) | mm | l / (s ha) | mm | l / (s ha) | mm | l / (s ha) | mm | l / (s ha) |
| 5 | | 5,3 | 176,7 | 7,0 | 233,3 | 8,0 | 266,7 | 9,3 | 310,0 | 11,0 | 366,7 | 12,8 | 426,7 | 13,8 | 460,0 | 15,0 | 500,0 | 16,7 | 556,7 |
| 10 | | 8,3 | 138,3 | 10,7 | 178,3 | 12,1 | 201,7 | 13,8 | 230,0 | 16,2 | 270,0 | 18,5 | 308,3 | 19,9 | 331,7 | 21,6 | 360,0 | 24,0 | 400,0 |
| 15 | | 10,3 | 114,4 | 13,1 | 145,6 | 14,8 | 164,4 | 16,9 | 187,8 | 19,7 | 218,9 | 22,5 | 250,0 | 24,2 | 268,9 | 26,3 | 292,2 | 29,1 | 323,3 |
| 20 | | 11,7 | 97,5 | 14,9 | 124,2 | 16,8 | 140,0 | 19,2 | 160,0 | 22,4 | 186,7 | 25,6 | 213,3 | 27,5 | 229,2 | 29,9 | 249,2 | 33,1 | 275,8 |
| 30 | | 13,5 | 75,0 | 17,3 | 96,1 | 19,6 | 108,9 | 22,5 | 125,0 | 26,3 | 146,1 | 30,2 | 167,8 | 32,5 | 180,6 | 35,3 | 196,1 | 39,2 | 217,8 |
| 45 | | 15,0 | 55,6 | 19,6 | 72,6 | 22,4 | 83,0 | 25,8 | 95,6 | 30,4 | 112,6 | 35,1 | 130,0 | 37,8 | 140,0 | 41,2 | 152,6 | 45,9 | 170,0 |
| 60 | | 15,9 | 44,2 | 21,2 | 58,9 | 24,3 | 67,5 | 28,2 | 78,3 | 33,5 | 93,1 | 38,8 | 107,8 | 41,9 | 116,4 | 45,8 | 127,2 | 51,1 | 141,9 |
| 90 | | 17,6 | 32,6 | 23,2 | 43,0 | 26,5 | 49,1 | 30,6 | 56,7 | 36,2 | 67,0 | 41,8 | 77,4 | 45,1 | 83,5 | 49,3 | 91,3 | 54,9 | 101,7 |
| 120 | 2 | 18,8 | 26,1 | 24,7 | 34,3 | 28,1 | 39,0 | 32,4 | 45,0 | 38,3 | 53,2 | 44,2 | 61,4 | 47,6 | 66,1 | 51,9 | 72,1 | 57,8 | 80,3 |
| 180 | 3 | 20,8 | 19,3 | 27,0 | 25,0 | 30,6 | 28,3 | 35,2 | 32,6 | 41,4 | 38,3 | 47,7 | 44,2 | 51,3 | 47,5 | 55,9 | 51,8 | 62,1 | 57,5 |
| 240 | 4 | 22,3 | 15,5 | 28,8 | 20,0 | 32,6 | 22,6 | 37,3 | 25,9 | 43,8 | 30,4 | 50,3 | 34,9 | 54,1 | 37,6 | 58,9 | 40,9 | 65,4 | 45,4 |
| 360 | 6 | 24,6 | 11,4 | 31,5 | 14,6 | 35,5 | 16,4 | 40,6 | 18,8 | 47,5 | 22,0 | 54,3 | 25,1 | 58,4 | 27,0 | 63,4 | 29,4 | 70,3 | 32,5 |
| 540 | 9 | 27,2 | 8,4 | 34,5 | 10,6 | 38,7 | 11,9 | 44,1 | 13,6 | 51,4 | 15,9 | 58,7 | 18,1 | 63,0 | 19,4 | 68,3 | 21,1 | 75,6 | 23,3 |
| 720 | 12 | 29,1 | 6,7 | 36,7 | 8,5 | 41,2 | 9,5 | 46,8 | 10,8 | 54,4 | 12,6 | 62,0 | 14,4 | 66,5 | 15,4 | 72,1 | 16,7 | 79,7 | 18,4 |
| 1080 | 18 | 32,2 | 5,0 | 40,2 | 6,2 | 45,0 | 6,9 | 50,9 | 7,9 | 59,0 | 9,1 | 67,0 | 10,3 | 71,8 | 11,1 | 77,7 | 12,0 | 85,8 | 13,2 |
| 1440 | 24 | 34,5 | 4,0 | 42,9 | 5,0 | 47,8 | 5,5 | 54,0 | 6,3 | 62,5 | 7,2 | 70,9 | 8,2 | 75,8 | 8,8 | 82,0 | 9,5 | 90,4 | 10,5 |
| 2880 | 48 | 42,4 | 2,5 | 55,2 | 3,2 | 62,6 | 3,6 | 72,0 | 4,2 | 84,7 | 4,9 | 97,5 | 5,6 | 104,9 | 6,1 | 114,3 | 6,6 | 127,0 | 7,3 |
| 4320 | 72 | 47,9 | 1,8 | 63,2 | 2,4 | 72,1 | 2,8 | 83,3 | 3,2 | 98,6 | 3,8 | 113,9 | 4,4 | 122,8 | 4,7 | 134,0 | 5,2 | 149,3 | 5,8 |

Angaben in mm: Bemessungsniederschlagswerte h(n)

Angaben in l / (s ha): Regenspende R(n) mit $R(n) = h(n) \times 1,666667 / D[\text{min}]$

Toleranzbereiche:

+/- 10 % für $1 \text{ a} \leq T \leq 5 \text{ a}$

+/- 15 % für $5 \text{ a} < T \leq 50 \text{ a}$

+/- 20 % für $50 \text{ a} < T \leq 100 \text{ a}$

Datenbasis: KOSTRA-DWD-2010R des Deutschen Wetterdienstes. Die Regenspende wurde auf Basis des Bemessungsniederschlags zur jeweiligen Andauer berechnet.

Für die Richtigkeit und Aktualität der Angaben wird keine Gewähr übernommen. Erstellt 07/2022.

Starkniederschlagshöhen und -spenden gemäß KOSTRA-DWD-2010R

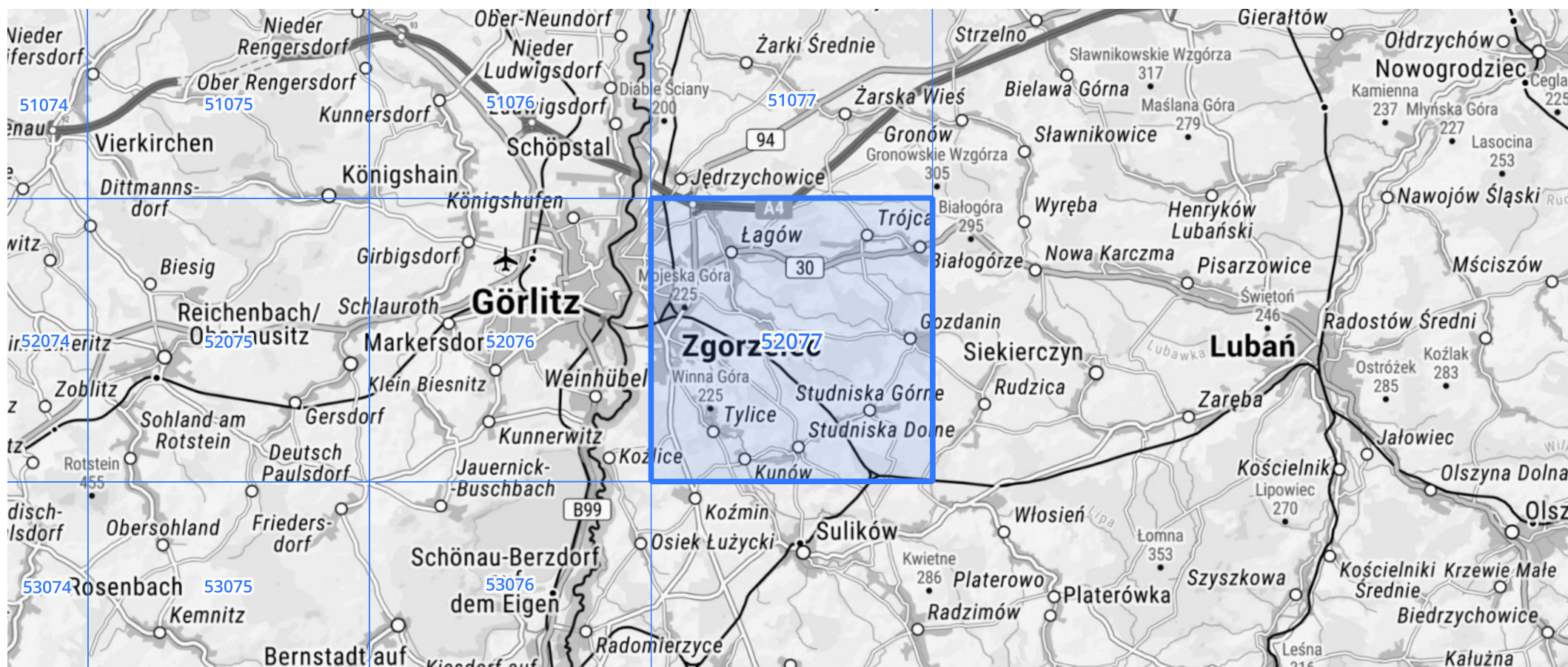
Auswertungszeitraum von 1951 - 2010, Januar - Dezember

Rasterfeld: 52077

Zeile: 52

Spalte: 77

Seite: 2/2



Quelle Rasterdaten: KOSTRA-DWD-2010R des Deutschen Wetterdienstes.

Kartendarstellung: © Bundesamt für Kartographie und Geodäsie (2022), Datenquellen: https://sgx.geodatenzentrum.de/web_public/gdz/datenquellen/Datenquellen_TopPlusOpen.html

Für die Richtigkeit und Aktualität der Angaben wird keine Gewähr übernommen. Erstellt 07/2022.